

Experimental Models of Rheumatoid Arthritis: Acute and Chronic Pain

Ali-Mohammad Khanizadeh^{1,2}, Fariba Karimzadeh^{3*}

¹Shefa Neuroscience Research Center, Khatam Alanbia Hospital, Tehran, Iran

²Department of Physiology, Iran University of Medical Sciences, Tehran, Iran

³Cellular and Molecular Research Center, Iran University of Medical Sciences, Tehran, Iran

Article Info:

Received: 9 Apr 2016

Accepted: 4 Dec 2016

ABSTRACT

Introduction: Rheumatoid arthritis is the most common chronic inflammatory autoimmune disease with unknown etiology and pathophysiology with various symptoms, such as pain, hyperalgesia, and edema. Changes in the level of cytokines, such as TNF- α , IL-6 and IL-1 β , are among mechanisms which have been suggested to cause chronic inflammation and have a key role in the design of experimental models of rheumatoid arthritis. The main experimental models of rheumatoid arthritis are Carageen, CFA, collagen-induced arthritis and Zymosan models. In these models, occurrence of thermal hyperalgesia, mechanical allodynia, and pain-induced motor impairment have been reported. These models assess the effectiveness of medications and the mechanisms of pain relief in rheumatoid arthritis. **Conclusion:** The use of a valid model of rheumatoid arthritis could help to investigate the pathophysiological mechanisms of pain and improve our studies on appropriate treatments for pain.

Key words:

1. Arthritis, Rheumatoid
2. Pain
3. Disease

***Corresponding Author:** Fariba Karimzadeh

E-mail: Fariba_karimzade@yahoo.com

doi: 10.18869/acadpub.shefa.5.1.98

مدل‌های آزمایشگاهی آرتريت روماتوئيد: درد حاد و مزمن

علی محمد خانی زاده^{۱،۲}، فریبا کریم زاده^{۳*}^۱ مرکز تحقیقات علوم اعصاب شفا، بیمارستان خاتم‌الانبیاء، تهران، ایران^۲ گروه فیزیولوژی، دانشگاه علوم پزشکی ایران، تهران، ایران^۳ مرکز تحقیقات سلولی و مولکولی، دانشگاه علوم پزشکی ایران، تهران، ایران

اطلاعات مقاله:

تاریخ پذیرش: ۱۴ آذر ۱۳۹۵

تاریخ دریافت: ۲۱ فرودین ۱۳۹۵

چکیده

مقدمه: آرتريت روماتوئيد شایع‌ترین بیماری خود ایمن التهابی مزمن با علت و پاتوفیزیولوژی ناشناخته با علائم مختلف از قبیل درد، هایپرآلژزی و ادم است. تغییرات در سطح سایتوکین‌هایی از قبیل فاکتور نکروز تومور آلفا، اینترلوکین ۶ و اینترلوکین ۱ بتا در میان مکانیسم‌هایی که پیشنهاد شده‌اند برای علت التهاب مزمن هستند و یک نقش کلیدی در طراحی مدل‌های آزمایشگاهی آرتريت روماتوئيد دارند. مدل‌های اصلی آزمایشگاهی آرتريت روماتوئيد مدل‌های Collagen-induced artherit، CFA، Carageen و Zymosan هستند. در این مدل‌ها هایپرآلژزی حرارتی، آلودنیای مکانیکی و اختلال حرکتی ناشی از درد گزارش شده است. این مدل‌ها اثر بخشی داروها و مکانیسم‌های تسکین درد در آرتريت روماتوئيد را ارزیابی می‌کنند. **نتیجه‌گیری:** استفاد از یک مدل معتبر آرتريت روماتوئيد می‌تواند به بررسی مکانیسم‌های پاتوفیزیولوژی درد و بهبود مطالعات ما در درمان‌های مناسب برای درد کمک کند.

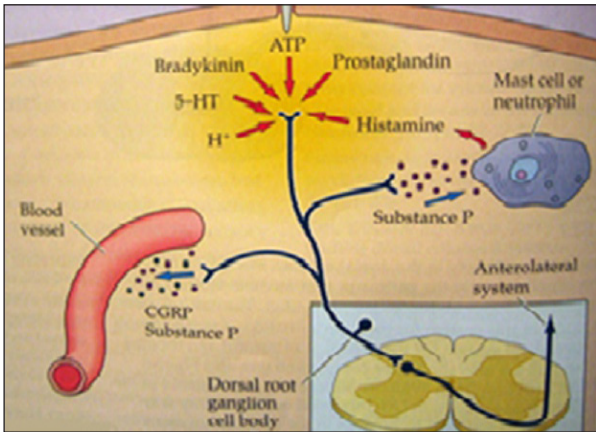
کلید واژه‌ها:

۱. آرتريت روماتوئيد
۲. درد
۳. بیماری

* نویسنده مسئول: فریبا کریم زاده

آدرس الکترونیکی: Fariba_karimzade@yahoo.com

مقدمه



تصویر ۱- ایجاد حساسیت محیطی به درد.

در حساس شدن محیطی پایانه‌های عصبی نسبت به محرک‌های حسی (محرک‌های دردناک یا غیر دردناک) در ناحیه ضایعه بافتی حس درد را انتقال می‌دهند. برخی از عوامل یا مواد شیمیایی که باعث حساس شدن محیطی می‌گردند عبارتند از: برادی‌کینین، پروستاگلاندین، گرما و سرما، عوامل مکانیکی، فاکتورهای رشد عصبی، ماده P، پپتید وابسته به ژن کلسی‌تونین، هیستامین، سروتونین، کاتیون‌ها، استیل کولین، لوکوترین‌ها و ATP که با افزایش میزان این مداخلات انتقال درد حتی با محرک‌های غیر درد زا نیز انجام می‌گیرد. سایتوکین‌های التهابی (IL-6 و TNF- α) در سیستم عصبی محیطی از طریق گیرنده‌های کاپسایسین، کانال ولتاژی سدیم، کلسیم و پتاسیم باعث افزایش حساس سازی گیرنده درد می‌شوند (۱۵، ۸، ۲۰).

آرتريت روماتويد شايع‌ترين بيماري اتو ايميون و التهابي مزمن با سبب‌شناسي^۱ نامشخص مي‌باشد و باعث بروز علايم التهابي مانند هايپرآلژزي، ادم و خوردگي مفاصل در گير مي‌شود (۲۳). نقش اين سايتوکين‌ها در بروز علايم آرتريت روماتويد آن چنان زياد است که استفاده از مهار کننده‌هاي برخي از اين سايتوکين‌هاي پيش التهابي مانند TNF- α و IL-6 براي کاهش شدت اين بيماري مورد توجه محققين مي‌باشد (۲۴، ۲۵، ۳). ترشح سايتوکين‌هاي التهابي مانند TNF- α و IL-6 و IL-1 β باعث افزايش فعاليت ميکروگلياها و آستروسيت‌ها در سيستم عصبی مرکزی می‌شوند. در دو دهه اخیر توجه بسيار زيادي به نقش سلول‌هاي گليال از جمله ميکروگلياها و آستروسيت‌ها در فرايند درد شده است (۲۶، ۲۷).

در سال ۱۹۹۱ Garrison و همکارانش متوجه شدند که پس از ايجاد درد نوروپاتيک تعداد آستروسيت‌هاي فعال در نخاع افزايش مي‌يابد و بعد از اين مطالعه، گزارش‌هاي بسيار زيادي مبني بر فعال شدن آستروسيت‌ها منتشر شد (۲۸). به طوري که مشاهدات زيادي نشان داد که بيان پروتئين GFAP^۲ پس از ايجاد درد نوروپاتيک ناشی از آسيب‌هاي اعصاب محیطی، نخاع و عصب تری ژمینال افزايش مي‌يابد (۳۰، ۲۹). آستروسيت‌هاي فعال شده نيز موجب تحريك و فعال شدن ميکروگلياها مي‌شوند (۳۱). ايمپالس‌هاي ناشی از فيبرهاي قطور مانند A- α و A- β جهت فعال شدن ميکروگلياها مورد نياز مي‌باشند اما تحريك فيبرهايي مانند C موجب تحريك و فعال

التهاب پاسخ فزيولوژي بدن به آسيب‌هاي بافتي ناشی از مواد شيميایی، ميکروارگانيسم‌ها، تروما، اجسام خارجي و تابش‌هاي يونيزه و غيره است که باعث ايجاد علايمي مثل درد، قرمزي، گرما و ادم در ناحیه آسيب ديده مي‌گردد. درد ناشی از التهاب مي‌تواند با فشار ناشی از ادم و ترشح عوامل مختلف روی پایانه‌هاي عصبی و تحريك شيميایی توسط مواد آزاد شده از سلول‌هاي آسيب ديده القاء شود. از فاکتورهاي مختلفی که در اين فرايند دخالت دارند سايتوکين‌هاي^۳ التهابي جايگاه ويژه چه از نظر مطالعات روند التهاب و چه از نظر بررسي زمان و روند درمان برخوردار هستند (۲-۱).

سايتوکين‌هاي التهابي شامل خانواده اينترلوکين‌ها^۴، فاکتور نکروز تومور آلفا (TNF- α)^۵، اينترفرون و فاکتور محرک کلني گرانولوسيت‌ها و فاکتور محرک کلني گرانولوسيت - مونوسيت مي‌باشند (۴-۳).

فاکتور نکروز تومور آلفا و اينترلوکين-6 (IL-6) در بسياري از فرايندهاي پاتولوژي دخیل در ايجاد درد و التهاب نقش اساسي بازي مي‌کنند. اثر بيولوژي آن از طريق تحريك و فراخواني نوتروفيل‌ها و مونوسيت‌ها به محل عفونت و فعال کردن آن‌ها براي ريشه کنی ميکروب‌هاست. اين سايتوکين‌ها در ايجاد واکنش‌هاي التهاب موضعی که باعث آسيب‌هاي بافتي مي‌شود نيز دخالت دارند (۶-۵). نقش مهمی در پيشرفت هايپرآلژزي^۶ دارند (۷). TNF- α و IL-6 در سيستم عصبی محیطی از طريق تعديل چندین کانال يونی از جمله گیرنده‌هاي کاپسایسین مانند TRPV1^۵، کانال ولتاژی سدیم، کلسیم و پتاسیم باعث افزايش حساس سازی گیرنده درد مي‌شوند (۸). همچنين باعث افزايش جريان کلسيمي انتهاي نورون‌ها شده و حساسيت به نوروتوکسين‌هايي مانند کاپسایسین را افزايش مي‌دهند (۹، ۱۰). همچنين اين سايتوکين‌ها نقش مهمی در افزايش حساسيت در مسيرهاي مرکزی انتقال درد دارند (۱۱) به ويژه در لامينای ۲ شاخ خلفی نخاع از طريق بهبود انتقالات وابسته به NMDA اين عمل را انجام مي‌دهند (۱۲-۱۴).

TNF- α و IL-6 سايتوکين‌هايي هستند که در ايجاد ادم نيز نقش دارند، در اين خصوص TNF- α بيان CD18^۶ بر روی نوتروفيل‌ها و ICAM-1^۷ در اندوتليال عروق را افزايش مي‌دهد (۱۸-۱۶).

TNF- α باعث افزايش بيان گیرنده برادی‌کینين شده و با از بين بردن يکپارچگی اسکلت سلولي عروق، سبب ايجاد منافذی در آن‌ها مي‌شود که ايجاد اين شرايط باعث آسيب اندوتليال، افزايش نفوذپذيري عروقی و ادم مي‌گردد (۲۲-۱۹).

¹ Cytokine

² Interleukins

³ Tumor necrosis factor

⁴ Hyperalgesia

⁵ Transient receptor potential cation channel subfamily V member

⁶ Cluster of differentiation

⁷ Intercellular adhesion molecule 1

⁸ Etiology

⁹ Glial fibrillary acidic protein

مدل‌های تجربی مختلفی برای ایجاد آرتریت روماتوئید استفاده می‌شود که عبارتند از:

۱- CFA-۲ Carrageenan-۳ CIA^{۱۰}-۴ Zymosan

در تمام این مدل‌ها پیدایش هایپرآلژزی حرارتی، آلودنیای مکانیکی^{۱۱} و اختلال حرکتی ناشی از درد گزارش شده است (۵۵).

مدل CFA

CFA که حاوی باکتری مایکوباکتریوم توبرکلوزیس کشته شده است، در روغن معدنی استریل معلق می‌باشد و به طور گسترده به‌عنوان مدل تجربی آرتریت روماتوئید استفاده می‌شود. از آن جا که این مدل قادر است این بیماری را به خوبی تقلید کند به یکی از مدل‌های حیوانی آرتریت روماتوئید تبدیل گشته است. این مدل جهت شناخت عملکرد داروهای ضد التهابی غیر استروئیدی (NSAID)^{۱۲} مورد استفاده قرار می‌گیرد. همچنین جهت ارزیابی درد نیز کاربرد دارد (۵۶، ۵۷).

مونوآرتریت ایجاد شده با CFA دارای دو فاز است، فاز اول (التهابی) که افزایش آزادسازی سایتوکین‌های پیش التهابی مانند TNF- α و IL-6 و IL-1 β باعث ایجاد ادم، هایپرآلژزی و آلودنیای مکانیکی می‌گردد (۵۸، ۵۹). فاز دوم (آرتریتی) که ناشی از بالا ماندن سطح سرمی سایتوکین‌های مذکور و آزاد شدن رادیکال‌های آزاد می‌باشد (۶۰، ۵۸).

بنابراین التهاب ایجاد شده توسط CFA با افزایش فعالیت سایتوکین‌ها و ایجاد رادیکال‌های آزاد همراه است که نقش مهمی در ایجاد علائم پاتولوژی مانند التهاب ایفاء می‌کند. آنتی‌اکسیدانت‌ها دارای اثرات حفاظتی علیه آسیب‌های ایجاد شده به وسیله رادیکال‌های آزاد اکسیژنی هستند بنابراین دارای اثرات درمانی بر روی علائم التهابی می‌باشند (۶۱).

تزریق CFA موجب افزایش تولید نیتریک اکساید سنتاز عصبی (nNOS)^{۱۳} می‌گردد به طوری که مهار تولید این عامل باعث کاهش معنی‌دار هایپرآلژزی و ادم می‌گردد (۶۲).

از دیگر عوامل اصلی ایجاد حساسیت مرکزی در نخاع می‌توان به nNOS اشاره نمود که موجب افزایش بیان CGRP در نورون‌ها در سیستم عصبی می‌گردد (۶۲). التهاب محیطی ناشی از تجویز CFA منجر به تغییراتی در سیستم عصبی مرکزی می‌شود که به دنبال آن رفتارهایی مانند آلودنیای مکانیکی و هایپرآلژزی حرارتی بروز می‌کند. مطالعات نشان داده است که به دنبال التهاب محیطی ناشی از القاء CFA، میکروگلیاها توسط

شدن این میکروگلیاها نمی‌گردند (۳۲). میکروگلیاها و آستروسیت‌ها دارای مجموعه گیرنده‌هایی برای ناقلین عصبی^{۱۴} هستند و آزاد شدن مداوم ناقلین عصبی، ATP، و نوروپتیدهایی مانند ماده P (SubP)^{۱۱} در تغییر شکل و عملکرد میکروگلیاها باعث نخاع دخیل می‌باشند و باعث افزایش انتقال پیام درد می‌شوند (۳۳-۳۵). مطالعات زیادی نشان داد که مدل‌های التهابی مانند فرمالین، کارگینان، CFA^{۱۲} و Zymosan موجب افزایش فعالیت آستروسیت‌ها و میکروگلیاها می‌گردند (۳۶-۳۹).

میکروگلیا و آستروسیت‌ها پس از دریافت حس درد از گیرنده‌ها دچار تغییراتی در ساختار و عملکرد خود مانند از دست دادن توانایی بافر کردن ناقلین عصبی تحریکی و مهارتی مانند گلوتامات و گابا، از بین رفتن ظرفیت بافری جهت یون‌ها و افزایش ترشح مدیاتورهای درد زا، پروستاگلاندین‌ها، نیتریک اکساید و سایتوکین‌های پیش التهابی می‌شوند (۴۲-۳۹، ۲۶).

مطالعات اخیر نشان داده است که پس از ایجاد التهاب محیطی، فعال شدن میکروگلیاها و آستروسیت‌ها در نخاع موجب شروع تسهیل حس درد و ایجاد درد مزمن می‌شوند. سایتوکین‌های ترشح شده از میکروگلیا موجب افزایش فعالیت سیناپس‌های تحریکی شده و درد مرکزی را شدت می‌بخشند (۴۳-۴۶). این سایتوکین‌های مترشح‌شده از سلول‌های گلیا و آستروسیت‌ها علاوه بر موارد ذکر شده موجب افزایش نوروتروفین‌ها مانند BDNF و پروستاگلاندین‌ها شده و از این مسیرها موجب ایجاد افزایش شدت آلودنیای مکانیکی و هایپرآلژزی حرارتی می‌گردند (۴۷-۴۹). همچنین CCL2/MCP-1 مشتق شده از آستروسیت‌ها جریان مهاری گابا را تضعیف و جریان تحریکی ناشی از گلوتامات را تحریک می‌کند و درد را تشدید می‌نمایند (۵۰). فعال شدن میکروگلیاها و آستروسیت‌ها پس از ایجاد درد فقط محدود به نخاع نیست و مطالعاتی فعال شدن میکروگلیا در تالاموس را به دنبال آسیب نخاعی و آستروسیت‌ها را در قشر سینگولیت پس از بسته شدن عصب سیاتیک و ایجاد درد نوروپاتی نشان داده‌اند (۵۱، ۵۰). بر اساس این شواهد امروزه استفاده از داروهایی که موجب جلوگیری از فعال شدن میکروگلیاها می‌شود یک رویکرد برای جلوگیری از بروز و تسکین درد می‌باشد (۵۳، ۵۲). در این راستا باید اشاره نمود که TNF- α و IL-6 سایتوکین‌هایی هستند که با حمله به غشای سینوویال و ایجاد التهاب مزمن نقش کلیدی در ایجاد درد التهابی مزمن و آرتریت روماتوئید بازی می‌کنند (۵۴). لذا مدل‌های تجربی رایج در آزمایشگاه‌ها ابزار مناسبی برای مطالعه بر روی دردهای مزمن و التهابی می‌باشند.

¹⁰ Neurotransmitters

¹¹ Substance P

¹² Complete freund's adjuvant

¹³ Collagen-induced arthritis

¹⁴ Allodynia

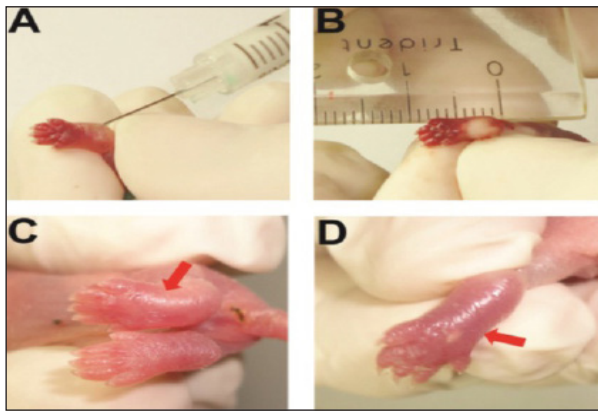
¹⁵ Nonsteroidal anti-inflammatory drugs

¹⁶ Neuronal nitric oxide synthases

تزریق شده است (۶۹). تزریق CFA باید در گونه‌های مختلف حیوانی بر اساس مکان تزریق با مقدار داده شده صورت گیرد. افزایش میزان تزریق باعث بروز آسیب‌های بافتی در محل مورد تزریق می‌گردد. یکی از جنبه‌های مفید این روش این است که با تزریق تک دوز کف پای مدل القاء می‌گردد. جزئیات نحوه و میزان تزریق در جدول ۱ نوشته شده است.

در ادامه باید اشاره نمود که تغییر سایتوکین‌های التهابی و همچنین تغییر در رفتار سلول‌های خونی در گیر در ایمنی در طول دردهای التهابی و پاسخگویی به درمان‌های رایج درد التهابی مانند کورتیکو استروئیدها و داروهای ضد التهابی غیر استروئیدی از اهمیت ویژه‌ای برخوردار است (۷۰، ۷۱). علاوه بر ثابت شدن نقش سایتوکین IL-6 در روند درد و التهاب ناشی از تزریق CFA، مطالعاتی اثرات ضد درد مهارکننده این سایتوکین را نشان می‌دهد (۷۲).

تزریق کف پای CFA باعث افزایش سایتوکین‌های پیش التهابی مثل TNF- α و IL-6 و IL-1 β شده که موجب القای هایپرآلژزی و آلودینیای مکانیکی در پای محل تزریق می‌گردد. این سایتوکین‌ها با افزایش بیان گیرنده برادی‌کینین باعث از بین رفتن سایتواسکلت عروق و ایجاد منافذی در آن‌ها می‌شود که ایجاد این



تصویر ۲- التهاب ایجاد شده ناشی از تزریق کف پای CFA (۷۲).
تصویر A: در لحظه تزریق CFA، تصویر B: همان روز پس از تزریق CFA، تصویر C: سه روز پس از تزریق CFA، تصویر D: شش روز پس از تزریق CFA.

سایتوکین‌های پیش التهابی فعال می‌شوند که فعالیت این سلول‌ها همراه با آستروگلیاها موجب بروز آلودینیای مکانیکی و هایپرآلژزی حرارتی می‌شوند (۶۴، ۶۳). به طوری که امروزه استفاده از مهارکننده میکروگلیاها مانند ماینوسایکلین^{۱۷}، فلوروسیترات^{۱۸}، پروپنتوفیلین^{۱۹} و آلفا-آمینو آدیپات^{۲۰} برای کاهش شدت درد و جلوگیری از ایجاد درد مزمن مورد توجه محققین قرار گرفته است (۳۹).

تجویز داروی ماینوسایکلین به‌عنوان مهارکننده میکروگلیا در مدل التهابی ناشی از تزریق CFA موجب کاهش شدت درد حاد و مزمن و علایم التهاب در هر دو فاز حاد و مزمن می‌گردد (۶۵).

القاء التهاب با استفاده از CFA باعث بروز هایپرآلژزی از روز اول تزریق می‌گردد که آن را به سایتوکین‌هایی مانند فاکتور نکروز تومور آلفا و اینترلوکین ۱ بتا و اینترلوکین ۶ نسبت داده‌اند. به طوری که سایتوکین‌های مذکور علاوه بر کاهش آستانه تحریک گیرنده‌های درد از طریق سیستم عصبی مرکزی، با تحریک ترشح ناقلین عصبی مانند ماده P و پپتید وابسته به ژن کلسی‌تونین (CGRP)^{۲۱} موجب تسهیل درد می‌گردند (۶۶).

تغییرات هایپرآلژزی ناشی از القاء التهاب در پای تزریق شده از حیوان آزمایشگاهی مشاهده شده است و این در حالی است که Taniguchi و همکارانش نشان دادند تداوم التهاب ناشی از تزریق CFA باعث ایجاد هایپرآلژزی در هر دو پای موش می‌شود و اندام‌های دیگر را نیز درگیر می‌کند (۶۷).

مطالعات دکتر زرین قلم و همکارانش نشان داده است که تزریق کف پای CFA منجر به هایپر آلژزی حرارتی در پای تزریق شده می‌شود (۶۸).

مطالعات دیگر بیانگر این مطلب هستند که حیوان پای آرتریتی خود را جهت حرکت کردن استفاده می‌کند و غیر از تفاوت ظاهری، تفاوت دیگری از نظر فعالیتی معمولاً دیده نمی‌شود. مهم‌ترین مشخصه مقایسه‌ای این نوع درد التهابی القاء هایپر آلژزی و آلودینیا در پای

جدول ۱- نحوه و میزان تزریق در مدل CFA.

گونه	زیر جلدی (ml)	درون جلدی (ml)	درون صفاقی (ml)	کف پای (ml)
موش سوری	<۰/۱	-	<۰/۰۵	<۰/۰۵
موش صحرايي	<۰/۱	<۰/۰۵	<۰/۱	<۰/۱
خرگوش	<۰/۲۵	<۰/۰۵	-	<۰/۲۵

¹⁷ Minocycline

¹⁸ Fluorocitrate

¹⁹ Propentophylline

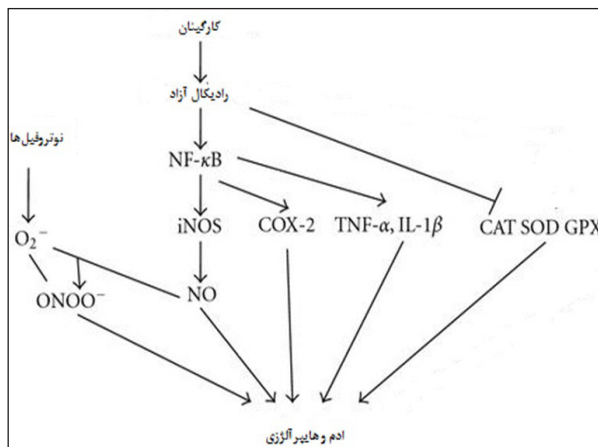
²⁰ Alpha-aminoadipate

²¹ Calcitonin gene related peptide

البته مطالعات اخیر نشان داده است که میزان سیکلو اکسیژناز (COX)^{۲۲} نیز در محل آسیب افزایش چشمگیری پیدا می‌کنند که این علائم می‌تواند با استفاده از داروهای ضد التهابی غیر استروئیدی بهبود یابد (۸۷).

فاکتور مهم دیگر در التهاب حاد، وجود نیتریک اکساید می‌باشد که در شرایط پاتولوژی و در سه ایزوفرم نیتریک اکساید سنتاز عصبی، نیتریک اکساید سنتاز القایی (iNOS)^{۲۴} و نیتریک اکساید سنتاز اندوتلیالی (eNOS)^{۲۵} وجود دارد (۸۸). کارژینان موجب افزایش تولید و آزاد شدن نیتریک اکساید در محل آسیب می‌گردد (۸۸).

تزریق مهارکننده غیر اختصاصی نیتریک اکساید سنتاز (NOS)^{۲۶} مانند ان جی -مونو متیل ال -آرژنین (L-NMMA)^{۲۷} موجب مهار نیتریک اکساید سنتاز ایجاد شده به دنبال تزریق کارژینان می‌گردد (۸۸). مطالعات نشان داده‌اند که التهاب ناشی از کارژینان مرتبط با آزاد شدن رادیکال‌های آزاد می‌باشد که باعث افزایش مسیر NF-κB^{۲۸} می‌گردد (۹۱-۸۹). NF-κB خود از عوامل تحریک تولید iNOS می‌باشد که موجب افزایش تولید NO و ایجاد ادم و هایپرآلژزی می‌گردد (۹۶-۹۲).



تصویر ۳- روند ایجاد التهاب در مدل کارژینان (۹۷).

تزریق کارژینان با افزایش تولید رادیکال‌های آزاد موجب افزایش بیان NF-κB شده و به واسطه آن رونویسی و بیان سایتوکین‌های التهابی مانند TNF-α و IL-1β را افزایش داده و این سایتوکین‌ها موجب ایجاد علائم التهاب مانند ادم و هایپرآلژزی می‌گردد. NF-κB از عوامل تحریک کننده تولید NO و COX بوده و از این مسیر نیز به افزایش علائم التهاب کمک می‌کند. از سوی دیگر افزایش رادیکال‌های آزاد باعث کاهش سطح آنزیم آنتی اکسیدانتی مانند SOD^{۲۹}، CAT^{۳۰} و GPX^{۳۱} شده و از این

شرایط باعث آسیب اندوتلیال، افزایش نفوذپذیری عروقی و ادم می‌گردد. از سوی دیگر تزریق CFA موجب افزایش تولید نیتریک اکساید (NO)^{۲۲} شده که از عوامل بسیار مهم در افزایش جریان بافت‌ها و نفوذپذیری عروق و ایجاد ادم می‌باشد.

مدل Carrageenan

کارژینان اسم تجاری است که برای پلی ساکارید سولفات استخراچ شده از نوعی جلبک دریایی به کار می‌رود. این نوع جلبک بر حسب حل شدن در پتاسیم کلر به انواع: λ و κ، λ، ε، μ تقسیم می‌گردد (۷۴).

این ماده باعث ایجاد ادم در پای حیوانات مانند موش شده و یک روش معمول و ساده برای ایجاد التهاب در محل مورد نظر بدون ایجاد آسیب و جراحی می‌باشد. از این مدل می‌توان جهت بررسی درد ناحیه پا استفاده نمود (۷۶، ۷۵).

برای ایجاد التهاب از کارژینان یک تا سه درصد محلول در نرمال سالین با دوز ۵۰ تا ۱۵۰ میکرولیتر به صورت کفپایی استفاده می‌شود (۷۷).

معمولاً از دوزهای بالاتر به منظور ایجاد مدل‌های آزمایشگاهی و پاتوفیزیولوژی آرتریت روماتوئید استفاده می‌گردد (۷۹، ۷۸).

ادم ایجاد شده ناشی از تزریق کارژینان وابسته به سن و دو فازی می‌باشد. در این التهاب میانی‌های متفاوتی مانند هیستامین، سرتونین، برادی‌کینین و پروستاگلاندین دخیل هستند که باعث افزایش نفوذپذیری عروق شده و التهاب را شدت می‌بخشد (۸۲-۸۰). التهاب ناشی از تزریق کارژینان باعث افزایش حضور نوتروفیل‌ها در محل آسیب می‌گردد (۸۳).

در تزریق سیستمیک و یا موضعی کارژینان، میانی‌هایی مانند فاکتور نکروز تومور آلفا و اینترلوکین ۱ بتا و اینترلوکین ۶ افزایش می‌یابد.

التهاب محیطی ناشی از تجویز کارژینان منجر به شرایطی می‌شود که با آزاد شدن سایتوکین‌های التهابی و فعال شدن میکروگلیاها در سیستم عصبی مرکزی رفتارهایی مانند آلودنیای مکانیکی و هایپرآلژزی حرارتی ایجاد می‌گردد (۸۵، ۸۴، ۸۰). التهاب محیطی ناشی از این مدل باعث فعال شدن میکروگلیاها در نخاع گردیده و به شروع و مزمن شدن درد کمک می‌کند. گزارشات حاکی از آن است که پس از تزریق ماینوسایکلین میزان درد و آلودنیای مکانیکی کاهش می‌یابد (۸۶).

²² Nitric oxide

²³ Cyclooxygenase

²⁴ Inducible nitric oxide synthases

²⁵ Endothelial nitric oxide synthases

²⁶ Nitric oxide synthases

²⁷ NG-monomethyl L-arginine

²⁸ Nuclear factor kappa-light-chain-enhancer of activated B cells

²⁹ Superoxide dismutase

³⁰ Catalase

³¹ Glutathione peroxidase

طریق موجب افزایش شدت التهاب می‌گردد.

از نقاط قوت این مدل می‌توان به قدرت و سرعت ایجاد التهاب و ایجاد علائمی نظیر ادم و هایپرآلژزی و درگیر کردن سلول‌های T و افزایش سایتوکین‌های التهابی و همچنین پاسخ دهی به داروهای ضد التهابی غیر استروئیدی اشاره کرد. این درحالی است که آسیب رساندن به سیستم ایمنی و به‌خصوص ماکروفاژها در دوزهای بالا از نقاط ضعف این روش محسوب می‌گردد. همچنین به سبب تضعیف شدید سیستم ایمنی انواع سرطان ایجاد می‌گردد و این دارو دارای اثرات سمیتی روی کبد و کلیه می‌باشد (۸۸، ۹۸).

مدل Collagen-Induced Arthritis

این مدل که به طور معمول برای ایجاد آرتریت روماتوئید القاء می‌گردد، دارای علائم بسیار زیادی شبیه آرتریت می‌باشد (۹۹). CIA بر روی فراوان‌ترین پروتئین غضروف که محل اثر بیماری آرتریت روماتوئید می‌باشد اثر گذاشته و باعث افزایش بیان سایتوکین‌های التهابی مثل فاکتور نکروز تومور آلفا و اینترلوکین ۱ بتا می‌گردد.

این مدل برای شناخت مکانیسم احتمالی بیماری‌های خود ایمنی و نقش سلول‌های خودی در شروع و پیشرفت بیماری و طراحی روش‌های درمانی جدید کاربرد دارد (۱۰۰).

امروزه این روش برای ارزیابی عملکرد بیولوژی دارو و درمان‌های جدید که هدف اثر آن‌ها بر عوامل سایتوکینی مثل فاکتور نکروز تومور آلفا و اینترلوکین ۱ بتا می‌باشد، تجاری سازی شده است (۱۰۰).

اگر چه تعداد مطالعات انجام شده برای بررسی میکروگلیاها محدود می‌باشد اما در این مدل نیز مانند نمونه‌هایی که ذکر شد فعال شدن میکروگلیاها را پس از ایجاد التهاب محیطی مشاهده می‌کنیم که درمان جهت جلوگیری از فعال شدن این گلیاها باعث کاهش حس درد می‌شود (۱۰۱).

مدل CIA دارای شباهت‌های بسیار زیادی با آرتریت روماتوئید است که شامل هایپرآلژزی در سینوویال، افزایش ترشحات سلول‌های تک هسته‌ای، از بین رفتن غضروف مفاصل و بیان ژن‌های کلاس دو مجموعه سازگاری بافتی (MHC)^{۳۲} اصلی می‌باشد. مهم‌ترین تفاوت این مدل با آرتریت روماتوئید، عدم بیان روماتوئید فاکتور (RF)^{۳۳} در این مدل بر خلاف آرتریت روماتوئید می‌باشد. اگر چه سلول‌های ایمنی B و T مانند آرتریت روماتوئید بیان می‌شوند که ایمونو پاتولوژی این مدل ناشی از فعالیت همین سلول‌ها (B

و T) در برابر کلاژن نوع دو است (۱۰۲، ۱۰۰).

این مدل با تزریق کلاژن نوع دو همراه با محلول در دم موش انجام می‌شود. در موش سوری این محلول CFA و در موش صحرایی محلول IFA^{۳۴} می‌باشد.

تزریق باید با دقت و به مقدار ۵۰ میکرولیتر انجام شود در غیر این صورت موجب آسیب بافتی و التهاب شدید در ناحیه تزریق می‌گردد (۱۰۳).

مدل زایموزان

زایموزان یک ترکیب شیمیایی است که از پلی ساکاریدهای دیواره سلولی *Saccharomyces cerevisiae* که دارای واحدهای تکرار شونده از گلوکز است، تشکیل شده است (۱۰۴). تزریق آن به پای موش موجب واکنش‌های التهابی می‌گردد (۱۰۶، ۱۰۵).

این مدل با تزریق این ماده با غلظت ۰/۳۱۳ میلی‌گرم تا حداکثر ۶/۲۵ میلی‌گرم در کف پای موش ایجاد شده و باعث ایجاد هایپرآلژزی حرارتی و مکانیکی و ادم می‌گردد. میزان و شدت این علائم وابسته به مدت زمان پس از تزریق و دوز ماده تزریق شده می‌باشد. به طوری که هایپرآلژزی حرارتی در دوزهای بالاتر از ۲/۵ میلی‌گرم ایجاد می‌گردد (۱۰۶).

همچنین بیشترین هایپرآلژزی را در ساعت چهار بعد از تزریق دیده می‌شود. در مقابل در هایپرآلژزی حرارتی در دو نوبت به بیشینه خود می‌رسد. به صورتی که با دوز ۲/۵ میلی‌گرم بیشینه هایپرآلژزی در دقیقه ۳۰ اتفاق می‌افتد اما با دوز ۲۵/۶ میلی‌گرم بیشینه در چهارمین ساعت پس از تزریق خواهد بود.

از نقاط قوت این مدل می‌توان به درگیر بودن سیستم ایمنی و سایتوکین‌ها اشاره نمود (۱۰۷).

در مدل التهاب ناشی از تزریق زایموزان نیز فعال شدن میکروگلیاها هم در سیستم عصبی مرکزی در مدل حیوانی و هم در مدل کشت سلولی مشاهده شده است. این سلول‌ها با ترشح ناقل عصبی گلوتامات اثرات تحریکی خود را اعمال می‌کنند. مطالعات نشان داده که تزریق این ماده باعث فعال شدن میکروگلیاها و ایجاد التهاب در سیستم عصبی مرکزی می‌شود و استفاده از داروی ماینوسایکلین باعث جلوگیری از فعال شدن این سلول‌ها و به دنبال آن کاهش التهاب در این قسمت می‌گردد (۱۰۸، ۱۰۹).

نتیجه‌گیری

با استفاده از مدل‌های التهابی علاوه بر بررسی تغییرات رفتار و مکانیسم‌های سلولی مولکولی دخیل در ایجاد درد حاد و مزمن ناشی از آرتریت روماتوئید می‌توان

³² Major histocompatibility complex

³³ Rheumatoid factor

³⁴ Incomplete freund's adjuvant

جمع آوری انواع مدل‌های تجربی رایج در این زمینه سعی به معرفی رایج‌ترین مدل‌های تجربی داشته است. مکانیسم‌های ایجاد آرتريت روماتوئید و همچنین درد حاد و مزمن در هر یک از مدل‌های ارائه شده متفاوت است لذا انتخاب یک مدل مناسب، وابستگی غیر قابل اغماض به نوع مطالعه و طراحی آن دارد.

1. Majithia V, Geraci SA. Rheumatoid arthritis: diagnosis and management. *Am J Med.* 2007; 120(11): 936-9.
2. Ricciotti E, FitzGerald GA. Prostaglandins and inflammation. *Arterioscler Thromb Vasc Biol.* 2011; 31(5): 986-1000.
3. Hirano T, Matsuda T, Turner M, Miyasaka N, Buchan G, Tang B, et al. Excessive production of interleukin 6/B cell stimulatory factor-2 in rheumatoid arthritis. *Eur J Immunol.* 1988; 18(11): 1797-802.
4. Zhang J-M, An J. Cytokines, inflammation and pain. *Int Anesthesiol Clin.* 2007; 45(2): 27.
5. Portenoy RK, Hagen NA. Breakthrough pain: definition, prevalence and characteristics. *Pain.* 1990; 41(3): 273-81.
6. Kutukculer N, Caglayan S, Aydogdu F. Study of pro-inflammatory (TNF- α , IL-1 α , IL-6) and T-cell-derived (IL-2, IL-4) cytokines in plasma and synovial fluid of patients with juvenile chronic arthritis: correlations with clinical and laboratory parameters. *J Clin Rheumatol.* 1998; 17(4): 288-92.
7. Ahmad SF, Ansari MA, Zoheir KM, Bakheet SA, Korashy HM, Nadeem A, et al. Regulation of TNF- α and NF- κ B activation through the JAK/STAT signaling pathway downstream of histamine 4 receptor in a rat model of LPS-induced joint inflammation. *J Immunol.* 2015; 220(7): 889-98.
8. Park C-K, Lü N, Xu Z-Z, Liu T, Serhan CN, Ji R-R. Resolving TRPV1-and TNF- α -mediated spinal cord synaptic plasticity and inflammatory pain with neuroprotectin D1. *J Neurosci.* 2011; 31(42): 15072-85.
9. Khan A, Diogenes A, Jeske N, Henry M, Akopian A, Hargreaves K. Tumor necrosis factor α enhances the sensitivity of rat trigeminal neurons to capsaicin. *Neuroscience.* 2008; 155(2): 503-9.
10. Sappington RM, Calkins DJ. Contribution of TRPV1 to microglia-derived IL-6 and NF κ B translocation with elevated hydrostatic pressure. *Invest Ophthalmol Vis.* 2008; 49(7): 3004-17.
11. Kawasaki Y, Zhang L, Cheng J-K, Ji R-R. Cytokine

تأثیر درمان‌های مختلف را در حیوانات مبتلا مطالعه نمود. هرچه مدل انتخاب شده به شرایط انسانی نزدیک‌تر باشد از ارزش بیشتری برخوردار خواهد بود. در بین مدل‌های ارائه شده CIA پر کاربردترین مدل می‌باشد ولی مسلماً انتخاب مناسب‌ترین مدل به نوع مطالعه و موضوع مورد پژوهش بستگی دارد. این مقاله با

منابع

- mechanisms of central sensitization: distinct and overlapping role of interleukin-1 β , interleukin-6, and tumor necrosis factor- α in regulating synaptic and neuronal activity in the superficial spinal cord. *J Neurosci.* 2008; 28(20): 5189-94.
12. 菊池宏信. Thermo-sensitive transient receptor potential vanilloid (trpv) channels in mouse adipocytes. University of Tokyo. 2014. <http://hdl.handle.net/2261/58150>.
 13. Kikuchi H, Oguri G, Yamamoto Y, Takano N, Tanaka T, Takahashi M, et al. Thermo-Sensitive transient receptor potential vanilloid (trpv) channels regulate il-6 expression in mouse adipocytes. *J Cardiovasc Pharmacol.* 2015; 4(4).
 14. Erta M, Quintana A, Hidalgo J. Interleukin-6, a major cytokine in the central nervous system. *Int J Biol Sci.* 2012; 8(9): 1254-66.
 15. Proprioceptor, cutaneous receptor and pain receptor. <http://katie.humanbio.blogspot.com/2008/04/proprioceptors-cutaneous-receptors-pain.html>.
 16. Lo SK, Everitt J, Gu J, Malik AB. Tumor necrosis factor mediates experimental pulmonary edema by ICAM-1 and CD18-dependent mechanisms. *J Clin Invest.* 1992; 89(3): 981.
 17. Chandrasekharan UM, Siemionow M, Unsal M, Yang L, Poptic E, Bohn J, et al. Tumor necrosis factor α (TNF- α) receptor-II is required for TNF- α -induced leukocyte-endothelial interaction in vivo. *Blood.* 2007; 109(5): 1938-44.
 18. Maruo N, Morita I, Shirao M, Murota S. IL-6 increases endothelial permeability in vitro. *J Endocrinol.* 1992; 131(2): 710-4.
 19. Campos MM, Souza GE, Calixto JB. Modulation of kinin B 1 but not B 2 receptors-mediated rat paw edema by IL-1 β and TNF α . *Peptides.* 1998; 19(7): 1269-76.
 20. Chappell D, Hofmann-Kiefer K, Jacob M, Rehm M, Briegel J, Welsch U, et al. TNF- α induced shedding of the endothelial glycocalyx is prevented by hydrocortisone and antithrombin. *Basic Res Cardiol.* 2009; 104(1): 78-89.

21. Goldblum SE, Sun WL. Tumor necrosis factor-alpha augments pulmonary arterial transendothelial albumin flux in vitro. *Am J Physiol*. 1990; 258(2): L57-L67.
22. Angelini DJ, Hyun S-W, Grigoryev DN, Garg P, Gong P, Singh IS, et al. TNF- α increases tyrosine phosphorylation of vascular endothelial cadherin and opens the paracellular pathway through fyn activation in human lung endothelia. *Am J Physiol Lung Cell Mol Physiol*. 2006; 291(6): L1232-L45.
23. Di Giovine FS, Nuki G, Duff GW. Tumour necrosis factor in synovial exudates. *Ann Rheum Dis*. 1988; 47(9): 768-72.
24. Ma X, Xu S. TNF inhibitor therapy for rheumatoid arthritis (Review). *Biomed Rep*. 2013; 1(2): 177-84.
25. Woodrick R, Ruderman EM. Anti-interleukin-6 therapy in rheumatoid arthritis. *Bull NYU Hosp Jt Dis*. 2010; 68(3): 211-7.
26. Milligan ED, Watkins LR. Pathological and protective roles of glia in chronic pain. *Nat. Rev. Neurosci*. 2009; 10(1): 23-36.
27. Scholz J, Woolf CJ. The neuropathic pain triad: neurons, immune cells and glia. *Nat Neurosci*. 2007; 10(11): 1361-8.
28. Garrison C, Dougherty P, Kajander K, Carlton S. Staining of glial fibrillary acidic protein (GFAP) in lumbar spinal cord increases following a sciatic nerve constriction injury. *Brain Res*. 1991; 565(1): 1-7.
29. Vega-Avelaira D, Moss A, Fitzgerald M. Age-related changes in the spinal cord microglial and astrocytic response profile to nerve injury. *Brain Behav*. 2007; 21(5): 617-23.
30. Stuesse S, Crisp T, McBurney D, Schechter J, Lovell J, Cruce W. Neuropathic pain in aged rats: behavioral responses and astrocytic activation. *Experimental Brain Research*. 2001; 137(2): 219-27.
31. Röhl C, Lucius R, Sievers J. The effect of activated microglia on astrogliosis parameters in astrocyte cultures. *Brain Res*. 2007; 1129: 43-52.
32. Suter MR, Berta T, Gao Y-J, Decosterd I, Ji R-R. Large α -fiber activity is required for microglial proliferation and p38 MAPK activation in the spinal cord: different effects of resiniferatoxin and bupivacaine on spinal microglial changes after spared nerve injury. *Mol Pain*. 2009; 5: 53. doi: 10.1186/1744-8069-5-53.
33. D'Antoni S, Berretta A, Bonaccorso CM, Bruno V, Aronica E, Nicoletti F, et al. Metabotropic glutamate receptors in glial cells. *Neurochem Res*. 2008; 33(12): 2436-43.
34. Masmoudi-Kouki O, Gandolfo P, Leprince J, Vaudry D, Pelletier G, Fournier A, et al. PACAP stimulates biosynthesis and release of endozepines from rat astrocytes. *Ann N. Y Acad Sci*. 2006; 1070: 411-6.
35. Gosselin R, Dansereau M, Pohl M, Kitabgi P, Beaudet N, Sarret P, et al. Chemokine network in the nervous system: a new target for pain relief. *Curr Med Chem*. 2008; 15(27): 2866-75.
36. Shan S, Hong C, Mei H, Ting-Ting L, Hai-Li P, Zhi-Qi Z, et al. New evidence for the involvement of spinal fractalkine receptor in pain facilitation and spinal glial activation in rat model of monoarthritis. *Pain*. 2007; 129(1): 64-75.
37. Sweitzer S, Colburn R, Rutkowski M, DeLeo J. Acute peripheral inflammation induces moderate glial activation and spinal IL-1 β expression that correlates with pain behavior in the rat. *Brain Res*. 1999; 829(1): 209-21.
38. Sun Y-N, Luo J-Y, Rao Z-R, Lan L, Duan L. GFAP and Fos immunoreactivity in lumbo-sacral spinal cord and medulla oblongata after chronic colonic inflammation in rats. *World J Gastroenterol*. 2005; 11(31): 4827-32.
39. Gosselin R-D, Suter MR, Ji R-R, Decosterd I. Glial cells and chronic pain. *Neuroscientist*. 2010; 16(5): 519-31.
40. Watkins LR, Milligan ED, Maier SF. Glial activation: a driving force for pathological pain. *Trends Neurosci*. 2001; 24(8): 450-5.
41. Ghorbani Gazar S, Talebi F. Immune System in central nervous system. *Shefaye Khatam*. 2013; 1(1): 49-54.
42. Sajadian A, Jafarian M, Khodaie B, Mohammad Sadeghi S, Ghaemi A. Reduction of neuroinflammation in epilepsy by using induced pluripotent stem (ips) cells-derived astrocytes. *Shefaye Khatam*. 2014; 2(2): 56-64.
43. Xu J-T, Xin W-J, Zang Y, Wu C-Y, Liu X-G. The role of tumor necrosis factor-alpha in the neuropathic pain induced by Lumbar 5 ventral root transection in rat. *Pain*. 2006; 123(3): 306-21.
44. Stohwasser R, Giesebrecht J, Kraft R, Müller EC, Häusler KG, Kettenmann H, et al. Biochemical analysis of proteasomes from mouse microglia: Induction of immunoproteasomes by interferon- γ and

- lipopolysaccharide. *Glia*. 2000; 29(4): 355-65.
45. Breder CD, Tsujimoto M, Terano Y, Scott DW, Saper CB. Distribution and characterization of tumor necrosis factor- α -like immunoreactivity in the murine central nervous system. *J Comp Neurol*. 1993; 337(4): 543-67.
46. Woolf CJ, Salter MW. Neuronal plasticity: increasing the gain in pain. *Science*. 2000; 288(5472): 1765-8.
47. Li C-Q, Xu J-M, Liu D, Zhang J-Y, Dai R-P. Brain derived neurotrophic factor (BDNF) contributes to the pain hypersensitivity following surgical incision in the rats. *Mol Pain*. 2008; 4: 27. doi: 10.1186/1744-8069-4-27.
48. Lu VB, Biggs JE, Stebbing MJ, Balasubramanyan S, Todd KG, Lai AY, et al. Brain-derived neurotrophic factor drives the changes in excitatory synaptic transmission in the rat superficial dorsal horn that follow sciatic nerve injury. *J Physiol*. 2009; 587(5): 1013-32.
49. McMahon SB, Cafferty WB, Marchand F. Immune and glial cell factors as pain mediators and modulators. *Exp Neurol*. 2005; 192(2): 444-62.
50. Gao Y-J, Zhang L, Samad OA, Suter MR, Yasuhiko K, Xu Z-Z, et al. JNK-induced MCP-1 production in spinal cord astrocytes contributes to central sensitization and neuropathic pain. *J Neurosci*. 2009; 29(13): 4096-108.
51. Kuzumaki N, Narita M, Hareyama N, Niikura K, Nagumo Y, et al. Chronic pain-induced astrocyte activation in the cingulate cortex with no change in neural or glial differentiation from neural stem cells in mice. *Neurosci Lett*. 2007; 415(1): 22-7.
52. Milligan ED, Twining C, Chacur M, Biedenkapp J, O'Connor K, Poole S, et al. Spinal glia and proinflammatory cytokines mediate mirror-image neuropathic pain in rats. *J Neurosci*. 2003; 23(3): 1026-40.
53. Svensson CI, Marsala M, Westerlund A, Calcutt NA, Campana WM, Freshwater JD, et al. Activation of p38 mitogen-activated protein kinase in spinal microglia is a critical link in inflammation-induced spinal pain processing. *J Neurochem*. 2003; 86(6): 1534-44.
54. Inglis JJ, Nissim A, Lees DM, Hunt SP, Chernajovsky Y, Kidd BL. The differential contribution of tumour necrosis factor to thermal and mechanical hyperalgesia during chronic inflammation. *Arthritis Res Ther*. 2005; 7(4): R807-16.
55. Nagakura Y, Okada M, Kohara A, Kiso T, Toya T, Iwai A, et al. Allodynia and hyperalgesia in adjuvant-induced arthritic rats: time course of progression and efficacy of analgesics. *J Pharm Exp Ther*. 2003; 306(2): 490-7.
56. Philippe L, Gegout-Pottie P, Guingamp C, Bordji K, Terlain B, Netter P, et al. Relations between functional, inflammatory, and degenerative parameters during adjuvant arthritis in rats. *Am J Physiol Regul Integr Comp Physiol*. 1997; 273(4): R1550-R6.
57. Billiau A, Matthys P. Modes of action of Freund's adjuvants in experimental models of autoimmune diseases. *J Leukoc Biol*. 2001; 70(6): 849-60.
58. Zaringhalam J, Akbari A, Tekieh E, Manaheji H, Rezazadeh S. Achillea santolina reduced serum IL-6 level and hyperalgesia during CFA-induced inflammation in male Wistar rats. *J Chin Integr Med*. 2010; 12: 1180-9.
59. Boyce-Rustay JM, Zhong C, Kohnken R, Baker SJ, Simler GH, Wensink EJ, et al. Comparison of mechanical allodynia and the affective component of inflammatory pain in rats. *Neuropharmacol*. 2010; 58(2): 537-43.
60. Rodriguez-Vita J, Lawrence T. The resolution of inflammation and cancer. *Cytokine Growth Factor Rev*. 2010; 21(1): 61-5.
61. Fraser GL, Gaudreau GA, Clarke P, Ménard DP, Perkins MN. Antihyperalgesic effects of δ opioid agonists in a rat model of chronic inflammation. *Br J Pharmacol*. 2000; 129(8): 1668-72.
62. Boettger MK, Üceyler N, Zelenka M, Schmitt A, Reif A, Chen Y, et al. Differences in inflammatory pain in nNOS-, iNOS- and eNOS-deficient mice. *Eur J Pain*. 2007; 11(7): 810-8.
63. Raghavendra V, Tanga FY, DeLeo JA. Complete Freund's adjuvant-induced peripheral inflammation evokes glial activation and proinflammatory cytokine expression in the CNS. *Eur J Neurosci*. 2004; 20(2): 467-73.
64. Clark AK, Gentry C, Bradbury EJ, McMahon SB, Malcangio M. Role of spinal microglia in rat models of peripheral nerve injury and inflammation. *Eur J Pain*. 2007; 11(2): 223-30.
65. Nasser B, Nazemian V, Manaheji H, Zaringhalam J. Microglia are involved in pain related behaviors during the acute and chronic phase of arthritis inflammation. *J Cell Mol Anesth*. 2016; 1(4): 137-45.
66. Cahill C, Morinville A, Hoffert C, O'Donnell D, Beaudet A. Up-regulation and trafficking of δ opioid receptor in a model of chronic inflammation: implications

for pain control. *Pain*. 2003; 101(1): 199-208.

67. Taniguchi N, Kanai S, Kawamoto M, Endo H, Higashino H. Study on application of static magnetic field for adjuvant arthritis rats. *Evid Based Complement Alternat Med*. 2004; 1(2): 187-91.

68. Zaringhalam J, Manaheji H, Mghsoodi N, Farokhi B, Mirzaiee V. Spinal μ -opioid receptor expression and hyperalgesia with dexamethasone in chronic adjuvant-induced arthritis in rats. *Clin Exp Pharmacol Physiol*. 2008; 35(11): 1309-15.

69. Chover-Gonzalez AJ, Harbuz MS, Tejedor-Real P, Gibert-Rahola J, Larsen PJ, Jessop DS. Effects of stress on susceptibility and severity of inflammation in adjuvant-induced arthritis. *Ann N Y Acad Sci*. 1999; 876(1): 276-86.

70. LeHoang P, Sterkers M, Thillaye B, De Kozak Y, Coscas G, Faure JP. Primate model of uveoretinitis and vasculitis/experimental autoimmune uveoretinitis induced in cynomolgus monkeys by retinal s antigen. *Ophthalmic Res*. 2008; 40(3-4): 181-8.

71. Guex-Crosier Y, Raber J, Chan C-C, Kriete MS, Benichou J, Pilson RS, et al. Humanized antibodies against the alpha-chain of the IL-2 receptor and against the beta-chain shared by the IL-2 and IL-15 receptors in a monkey uveitis model of autoimmune diseases. *J Immunol*. 1997; 158(1): 452-8.

72. Tekieh E, Manaheji H, Zeinalzadeh E. Role of serum interleukin-6 level on hyperalgesia and spinal μ -opioid receptor expression during the complete Freund's adjuvant-induced chronic inflammation. *Kaums Journal (FEYZ)*. 2012; 16(3): 196-204.

73. Malheiros JM, Amaral C, Leslie ATS, Guinsburg R, Covolan L. An experimental model of neonatal nociceptive stimulation in rats. *Bio Protocol*. 2014; 4(21): 1-5.

74. van de Velde F, Lourenço ND, Pinheiro HM, Bakker M. Carrageenan: a food-grade and biocompatible support for immobilisation techniques. *Adv Synth Catal*. 2002; 344(8): 815-35.

75. Henriques MG, Silva PM, Martins MA, Flores CA, Cunha FQ, Assreyu-Filho J, et al. Mouse paw edema. a new model for inflammation? *Braz. J. Med. Biol. Res*. 1986; 20(2): 243-9.

76. Sugishit AE, Amagaya S, Ogihara Y. Anti-inflammatory testing methods: comparative evaluation of mice and rats. *J Pharmacobio-Dyn*. 1981; 4(8): 565-75.

77. Rosen A, Lundeberg T, Bytner B, Nylander I. Central changes in nociceptin dynorphin B and Met-enkephalin-Arg-Phe in different models of nociception. *Brain Res*. 2000; 857(1): 212-8.

78. Radhakrishnan R, Bement MKH, Skyba D, Sluka KA, Kehl LJ. Models of muscle pain: carrageenan model and acidic saline model. *Curr Protoc Pharmacol*. 2004; 5(35): doi: 10.1002/0471141755.ph0535s25.

79. Porto G-G, Vasconcelos B, Silva-Junior V-A, Souza Andrade E. The use of carrageenan for limiting the mandibular movement in rats: A preliminary experimental study. *Med Oral Patol Oral Cir Bucal*. 2010; 15(4): 653-7.

80. Cuzzocrea S, Sautebin L, De Sarro G, Costantino G, Rombolà L, Mazzon E, et al. Role of IL-6 in the pleurisy and lung injury caused by carrageenan. *J Immunol*. 1999; 163(9): 5094-104.

81. Rosa MD, Willoughby D. Screens for anti-inflammatory drugs. *J Pharm Pharmacol*. 1971; 23(4): 297-8.

82. Di Rosa M, Giroud J, Willoughby D. Studies of the mediators of the acute inflammatory response induced in rats in different sites by carrageenan and turpentine. *J Pathol*. 1971; 104(1): 15-29.

83. Lyons CR. The role of nitric oxide in inflammation. *Adv Immunol*. 1995; 60: 323-71.

84. Yao Z-a, Xu L, Wu H-g. Immunomodulatory function of κ -carrageenan oligosaccharides acting on LPS-activated microglial cells. *Neurochem Res*. 2014; 39(2): 333-43.

85. Choi H-S, Roh D-H, Yoon S-Y, Moon J-Y, Choi S-R, Kwon S-G, et al. Microglial interleukin-1 β in the ipsilateral dorsal horn inhibits the development of mirror-image contralateral mechanical allodynia through astrocyte activation in a rat model of inflammatory pain. *Pain*. 2015; 156(6): 1046-59.

86. Schreiber KL, Beitz AJ, Wilcox GL. Activation of spinal microglia in a murine model of peripheral inflammation-induced, long-lasting contralateral allodynia. *Neurosci Lett*. 2008; 440(1): 63-7.

87. Handy RLC, Moore PK. A comparison of the effects of L-NAME, 7-NI and L-NIL on carrageenan-induced hindpaw oedema and NOS activity. *Br J Pharmacol*. 1998; 123(6): 1119-26.

88. Omote K, Hazama K, Kawamata T, Kawamata M,

- Nakayaka Y, Toriyabe M, et al. Peripheral nitric oxide in carrageenan-induced inflammation. *Brain Res.* 2001; 912(2): 171-5.
89. Janero DR. Malondialdehyde and thiobarbituric acid-reactivity as diagnostic indices of lipid peroxidation and peroxidative tissue injury. *Free Radic Biol Med.* 1990; 9(6): 515-40.
90. Siomek A. NF- κ B signaling pathway and free radical impact. *Acta Biochim Pol.* 2012; 59(3): 323-31.
91. Moyana T, Lalonde J. Carrageenan-induced intestinal injury: possible role of oxygen free radicals. *Ann Clin Lab Sci.* 1991; 21(4): 258-63.
92. Yang Y, Yu T, Lian Y-j, Ma R, Yang S, Cho JY. Nitric oxide synthase inhibitors: a review of patents from 2011 to the present. *Expert Opin Ther Pat.* 2015; 25(1): 49-68.
93. Watanabe K, Inai S, Jinnouchi K, Bada S, Hess A, Michel O, et al. Nuclear-factor kappa B (NF-kappa B)-inducible nitric oxide synthase (iNOS/NOS II) pathway damages the stria vascularis in cisplatin-treated mice. *Anticancer Res.* 2001; 22(6C): 4081-5.
94. Sakaguchi Y, Shirahase H, Kunishiro K, Ichikawa A, Kanda M, Uehara Y. Synergistic effect of nitric oxide synthase and cyclooxygenase inhibitors on carrageenan-induced paw edema in rats. *Arzneimittelforschung.* 2006; 56(10): 695-9.
95. Meller S, Cummings C, Traub R, Gebhart G. The role of nitric oxide in the development and maintenance of the hyperalgesia produced by intraplantar injection of carrageenan in the rat. *Neuroscience.* 1994; 60(2): 367-74.
96. Gautam M, Kumar R, Prasoon P, Ray SB. Antinociceptive effect of 1400 W, an inhibitor of inducible nitric oxide synthase, following hind paw incision in rats. *Nitric Oxide.* 2015; 50: 98-104.
97. Huang SS, Chiu CS, Chen HJ, Hou WC, Sheu MJ, Lin YC, et al. Antinociceptive activities and the mechanisms of anti-inflammation of asiatic Acid in mice. *Evid Based Complement Alternat Med.* 2011; 2011: 1-10. doi:10.1155/2011/895857.
98. Wakabayashi K, Inagaki T, Fujimoto Y, Fukuda Y. Induction by degraded carrageenan of colorectal tumors in rats. *Cancer Lett.* 1978; 4: 171-6.
99. Trentham DE, Townes AS, Kang AH. Autoimmunity to type II collagen an experimental model of arthritis. *J Exp Med.* 1977; 146(3): 857-68.
100. Elliott MJ, Maini RN, Feldmann M, Long-Fox A, Charles P, Katsikis P, et al. Treatment of rheumatoid arthritis with chimeric monoclonal antibodies to tumor necrosis factor α . *Arthritis Rheum.* 1993; 36(12): 1681-90.
101. Patro N, Sharma A, Kariaya K, Patro I. *Spirulina platensis* protects neurons via suppression of glial activation and peripheral sensitization leading to restoration of motor function in collagen-induced arthritic rats. *Indian J Exp Biol.* 2011; 49: 739-48.
102. Holmdahl R, Andersson ME, Goldschmidt TJ, Jansson L, Karlsson M, Malmstrom V, et al. Collagen induced arthritis as an experimental model for rheumatoid arthritis. *APMIS.* 1989; 97(7-12): 575-84.
103. Holmdahl R, Jansson L, Larsson E, Rubin K, Klareskog L. Homologous type II collagen induces chronic and progressive arthritis in mice. *Arthritis Rheum.* 1986; 29(1): 106-13.
104. Sato M, Sano H, Iwaki D, Kudo K, Konishi M, Takahashi H, et al. Direct binding of Toll-like receptor 2 to zymosan, and zymosan-induced NF- κ B activation and TNF- α secretion are down-regulated by lung collectin surfactant protein A. *J Immunol.* 2003; 171(1): 417-25.
105. Gemmell DK, Cottney J, Lewis AJ. Comparative effects of drugs on four paw oedema models in the rat. *Agents Actions.* 1979; 9(1): 107-16.
106. Damas J, Remacle-Volon G. Mast cell amines and the oedema induced by zymosan and carrageenans in rats. *Eur J Pharmacol.* 1986; 121(3): 367-76.
107. Meller S, Gebhart G. Intraplantar zymosan as a reliable, quantifiable model of thermal and mechanical hyperalgesia in the rat. *Eur J Pain.* 1997; 1(1): 43-52.
108. Converse AK, Larsen EC, Engle JW, Barnhart TE, Nickles RJ, Duncan ID. 11C-(R)-PK11195 PET imaging of microglial activation and response to minocycline in zymosan-treated rats. *J Nucl Med.* 2011; 52(2): 257-62.
109. Harrigan TJ, Abdullaev IF, Jourdeuil D, Mongin AA. Activation of microglia with zymosan promotes excitatory amino acid release via volume-regulated anion channels: the role of NADPH oxidases. *J Neurochem.* 2008; 106(6): 2449-62.